

# Der Granit „Typus Eisgarn“ aus dem nordwestlichen Waldviertel

Von  
Alexander Köhler

(Mit 2 Textfiguren)

(Vorgelegt in der Sitzung am 17. Dezember 1931)

Ein bedeutendes Areal der Nordwestecke von Niederösterreich wird von einem Zweiglimmergranit eingenommen, der als »Gmünder Granit« in der Steinbruchindustrie seit langem bekannt war, dessen Verbreitung und Stellung zu den übrigen Granittypen jedoch bis in die jüngste Zeit unbekannt blieb. Ebenso fehlten physiographische und chemische Daten. Seit der Feldaufnahme durch die Geologische Reichsanstalt im Jahre 1851 (1)<sup>1</sup> ist dieses Gebiet bis vor einigen Jahren geologisch nicht mehr untersucht worden. Erst die Neuaufnahme durch L. Waldmann und mehrere Arbeiten von R. Ostadal erweitern hier unsere bescheidenen Kenntnisse. In der ersten Arbeit von R. Ostadal (2) erfolgte noch keine Trennung der einzelnen Granittypen, erst 1927 trennte er den »typischen Porphygranit« von einem »helleren, mehr oder minder grobkörnigen Granit« (3), die damals als gleich alt angesehen wurden; ebenso wurden sie in späteren Arbeiten (4, 5) als gleich alt und älter als der feinkörnige Typus erklärt. Hier wird auch die erste physiographische Beschreibung des Zweiglimmergranites gegeben und eine, allerdings unvollständige Analyse gebracht. Darauf werde ich später noch zu sprechen kommen. Auch L. Waldmann konnte zunächst noch keinen Altersunterschied feststellen (8, 9, 10). Erst später (11) hat er innerhalb der Massengesteine die Intrusionsfolge festgestellt und sie dem Alter nach folgendermaßen geordnet:

1. Basische Vorläufer (Diorite usw.).
2. Porphyrtiger Granit.<sup>2</sup>
3. Mittel- bis feinkörnige Granite (Typus Mauthausen).
4. Zweiglimmergranit (von ihm Typus Eisgarn benannt).<sup>3</sup>

Dieser Gliederung schließt sich neuerdings auch R. Ostadal an (6, 7).

---

<sup>1</sup> Die Nummern beziehen sich auf das Literaturverzeichnis am Schlusse der Arbeit!

<sup>2</sup> Synonima: Krystallgranit (Gümbel), Waldgranit, Schärdinger Granit, Plöckinger Granit, A-Granit (Peters).

<sup>3</sup> Ob der »Weißgranit« (Graber), nach Peters »B-Granit«, geologische Selbständigkeit besitzt oder nur eine Abart des Mauthausener Typus darstellt, kann noch nicht entschieden werden (14).

Wenn auch die Abgrenzung noch nicht genau festgelegt ist, so ist doch schon das Vorkommen zwischen den Orten Neubistritz (Südostböhmen) — Münichschlag — Litschau — Heidenreichstein — Gmünd (11, 12) Beweis für die weite Erstreckung. Auch südlich von Gmünd, bei Karlstift, habe ich Granite gesehen, die diesem Typus entsprechen dürften. Graber (15) hat vor kurzem auf die große Verbreitung in nördlichen Teilen des oberösterreichischen Mühlviertels und im angrenzenden südböhmischen Gebiete hingewiesen, ebenso L. Waldmann (13). Diese bedeutende Ausdehnung, seine Altersstellung und der von den übrigen Graniten verschiedene Mineralgehalt rechtfertigen eine eingehende physiographische und chemische Charakteristik.

### Physiographie der Gemengteile.

Das mittel- bis grobkörnige hellgraue Gestein ist meist porphyrtartig und deutlich fluidal entwickelt. Wesentliche Gemengteile sind: Kalifeldspat (natronreich), Plagioklas (saurer Oligoklas), Quarz, Biotit und Muskovit. Gegenüber dem porphyrtartigen Granit sind die Kalifeldspate beträchtlich kleiner (1 bis 2 *cm*, seltener größer); auch die Quarze und Biotite sind von kleineren Dimensionen und gleichmäßiger verteilt. Schlierige und flasérige Anreicherung der Biotite wie in den Randpartien der porphyrtartigen Granite fehlt, auch ist die größere Beteiligung des Quarzes unverkennbar. Im Vergleich mit den Mauthausener Typen ist zu bemerken, daß die Feinkörnigkeit derselben nie erreicht wird. Ein Unterschied gegenüber beiden Typen ist der stete und nicht unbeträchtliche Gehalt an Muskovit.

Mikroskopische Beobachtungen: Mikroklin bildet nur an der Grenze gegen Quarz Flächen aus [(010), (001), ( $\bar{2}$ 01), (110)]. Zwillingbildung nach dem Karlsbader Gesetz ist häufig. Einschlüsse bilden vor allem idiomorphe Plagioklase und Glimmer, Quarz durchlöchert ihn manchmal siebartig. Optisch erweist er sich als Mikroklin-Mikroperthit mit deutlichem Moiré in geeigneten Schnitten. Selten sind feine Albitspindeln parallel ( $\bar{8}$ 01), häufiger ist er von größeren Albitlamellen netzartig durchzogen, die für sich nach dem Albitgesetz verzwillingt sind. An manchen Stellen des Schliffes ist zu bemerken, daß die Außenzone der Mikrokline arm oder frei von Albiteinlagerungen ist und dann der schönen Gitterung entbehrt, jedoch in Präparaten parallel *P* schief auslöschend ist. Es erinnert diese Erscheinung an einen Zonarbau, im Kern (entmischer) Kalinatronfeldspat, in der Außenzone mehr minder natronfreier Kalifeldspat. Bezeichnenderweise haben wir den Kalifeldspat, der sich hier bei relativ niedriger Temperatur gebildet haben muß, nur in der triklinen Form vor uns. Spaltpräparate parallel *M* haben eine Auslöschung von 6 bis 7°, was gleichfalls auf eine Beimengung des Albitmoleküls hinweist.

Plagioklas ist krystallographisch besser umgrenzt als der Mikroklin, doch sind außer (001), (010) und (110) keine weiteren Flächen bemerkbar. Lamellierung nach dem Albitgesetz ist die Regel,

häufig sind Doppelzwillinge nach dem Albit- und Karlsbader Gesetz, selten Periklinlamellen. Zonarbau ist schwach, oft sind auch größere Individuen frei davon, sonst ist nur ein Unterschied zwischen Kern und Hülle, scharf abgesetzt oder mit allmählichem Übergang, zu bemerken. Der Kern ist durch Zersetzungsprodukte meist getrübt, wobei, allerdings selten, bereits kleine Muskovitschüppchen entstanden sind. Durchschnittliche Größe der Individuen  $\frac{1}{2}$  bis 1 *cm*.

Der An-Gehalt ergibt sich aus folgenden Daten: Doppelzwillings mit  $1 = -6.5^\circ$ ,  $2 = -10.5^\circ = 10\%$  An. Schnitt  $\perp$  MP:  $1 = -7^\circ = 13\%$  An. Vergleich mit Quarz bei Kreuzstellung:  $\alpha' < \epsilon'$ ,  $\gamma' = \omega' = 15\%$  An,  $\alpha' <$ ,  $\gamma' >$  Kanadabalsam = 10 bis 20% An; in einem zonargebauten Individuum im Kern:  $\alpha' =$  Kanadabalsam = 20% An, Hülle:  $\alpha' <$  Kanadabalsam =  $< 20\%$  An. Somit bewegt sich der An-Gehalt zwischen 10 und 20% An, ist also geringer als im porphyritartigen Granit (30 bis 35%)<sup>1</sup> und in den Mauthausener Typen (20 bis 30% An).<sup>2</sup>

Myrmekitische Bildungen an der Grenze gegen den Kalifeldspat sind nicht sehr häufig.

Quarz bildet unregelmäßig umgrenzte, schwach undulöse Körner von blaßgrauer Farbe. Bemerkenswert sind die zahlreichen Flüssigkeitseinschlüsse (manche mit Libelle) entlang krummer Flächen, ferner die zahlreichen, jedoch äußerst schmalen und dünnen Nadelchen, die sich, wenn sie etwas größer werden, mit Sicherheit als Rutil bestimmen lassen. (Gerade Auslöschung, hohe Licht- und Doppelbrechung, deutlicher Pleochroismus mit  $\epsilon =$  dunkelbraun bis opak,  $\omega =$  farblos bis gelblich.) Die größten Nadelchen erreichen eine Länge von 0.12 *mm* und eine Breite bis 0.002 *mm*.

Biotit. Megaskopisch schwarzbraune, 2 bis 3 *mm* im Durchschnitt große Blättchen. Basisschnitte annähernd hexagonal umgrenzt, Enden ausgefranst, lappig. Optische Eigenschaften: Achsenwinkel sehr klein, nicht meßbar.

$\gamma - \alpha = 0.046$ , Pleochroismus:  $\alpha = 33$  Braun  $t \rightarrow u$ ,  $\gamma = 2$  Zinn-ober  $g$  (Farbbezeichnung nach Radde, Schlifffdicke = 35  $\mu$ ).

Einschlüsse bilden in erster Linie die zahlreichen kleinen Zirrkörner mit pleochroitischen Höfen. Seltener sind größere Apatitkörner eingeschlossen, um die sich manchmal schwache Verfärbungszonen zeigen. Sekundär sind die bei Chloritisierung entstandenen Rutil (Sagenit) und Titanitkörner. Bei dem zur Analyse verwendeten Material ist die Chloritisierung auf ein Minimum beschränkt.

Muskovit ist von gleichen oder kleineren Dimensionen wie Biotit, lokal bildet er gröberschuppige Nester. Wie Biotit ist er seitlich ohne krystallographische Begrenzung. Als junger Gemengteil ist er gegenüber Plagioklas deutlich xenomorph. Er bildet gerne Nester für sich allein oder um Andalusit herum, oder er ist mit Biotit

<sup>1</sup> Nach Angabe von E. Maroschek.  
Nach eigener Beobachtungen.

parallel verwachsen. Als Einschluß tritt Zirkon auf mit blaßgelben pleochroitischen Höfen. Über die Vergesellschaftung mit Andalusit siehe diesen!

Apatit ist vornehmlich in und um Biotit entwickelt, auch als Einschluß in Plagioklas und Quarz, fehlt dagegen im Kalifeldspat und Muskovit. Größere Individuen sind erfüllt von Einschlüssen, die zum Teil aus idiomorphen Zirkonen bestehen, zum größeren Teil aber Flüssigkeitseinschlüsse sind, die parallel oder normal zur Basis angeordnet sind und manchmal die Form negativer Krystalle annehmen.

Zirkon als Einschluß wie oben in Form rundlicher, ovaler Körner, seltener idiomorph mit (110) und (111).

Magnetit ist sehr spärlich vertreten.

Rutil als Einschluß in Quarz siehe diesen!

Andalusit findet sich nicht in allen Schliffen; in dem analysierten Material ist er somit recht selten. In anderen Vorkommen aus dem gleichen Granitgebiete findet er sich oft reichlich. Es sind kleine Relikte mit den charakteristischen Eigenschaften des Andalusits, zum Teil oder ganz in ein Muskovitaggregat umgewandelt, das nach außen zu wieder von einem Saum wirr gelagerter Sillimanitnadelchen umgeben ist. Merkwürdig ist der Umstand, daß alle Individuen an die Muskovitanreicherungen gebunden sind.

Sekundäre Komponenten sind die bei beginnender Chloritisierung auftretenden Neubildungen von Rutil und Titanit, nebst Kaolin und Muskovit in zersetzten Feldspaten.

Diese physiographische Beschreibung deckt sich sehr gut mit den Angaben von R. Ostadal (4) und L. Waldmann (11). Letzterer betont auch das Zurücktreten des Biotits gegenüber dem porphyrtigen Granit und den Reichtum an grobschuppigem Muskovit. Bezüglich des Andalusits, den er als besonders reichlich von Reitzen-schlag und Eisgarn angibt, ist er der Ansicht, daß dieses Mineral als ältester Gemengteil von der »an Wasser reichen Alkalischemelze unter Ausscheidung einheitlicher großer Muskovitblätter aufgezehrt« wurde. Gleichwohl sind fremde Einschlüsse in unserem Gestein selten. Der lebhaft Wechsell in der Textur, die bald porphyrtig, bald gleichmäßig grobkörnig oder fluidal ist, wurde hervorgehoben.

### Chemische Charakteristik.

Zur chemischen Analyse diente ein Gesteinspulver, zu dem eine Menge von zirka 15 kg des frischesten Materials verwendet wurde. Die besten Aufschlüsse schienen mir in den zahlreichen Brüchen nördlich von Gmünd im Grillenstein Wald zu sein, deswegen erfolgte die Probenahme hier. Zur Kontrolle diente Material von Herrn R. Ostadal, das mit meinem völlig übereinstimmte.

Um die Analyse auf ihre Richtigkeit zu prüfen, wurde sie auf Grund des gegebenen Mineralgehaltes verrechnet (Tabelle 1). Eine Angabe der quantitativen Verhältnisse der Komponenten nach

## Ergebnisse der Analyse.

(Analytiker A. Köhler.)

	Gew. %	Mol.-Quot.	Projektionswerte nach Niggli, Becke und Marchet:	
SiO <sub>2</sub>	72·60	12090		
TiO <sub>2</sub>	0·32	40		
Al <sub>2</sub> O <sub>3</sub>	14·06	1379	<i>al</i> = 45·5	$\xi$ = 79·9
Fe <sub>2</sub> O <sub>3</sub> .....	0·28	17	<i>fn</i> = 14·8	$\eta$ = 50·8
FeO	2·21	308	<i>c</i> = 5·3	$\zeta$ = 39·7
MnO	0·10	14	<i>alk</i> = 34·4	<i>or</i> = 5·01 <sup>1</sup>
MgO	0·38	94	<i>si</i> = 399	<i>ab</i> = 4·27
CaO ..	0·89	160	<i>qz</i> = 161	<i>an</i> = 0·72
BaO	0·03	2	<i>ti</i> = 1·3	<i>ls</i> = 0·54 <sup>1</sup>
Na <sub>2</sub> O	2·96	478	<i>p</i> = 0·4	<i>fs</i> = 0·04
K <sub>2</sub> O .....	5·31	564	<i>h</i> = 13·6	<i>qs</i> = 0·43
H <sub>2</sub> O + 110°	0·74	411	<i>k</i> = 0·54	
P <sub>2</sub> O <sub>5</sub>	0·15	11	<i>mg</i> = 0·21	
S .....	0·00	0	<i>cf</i> = 0·36	
Summe .....	100·03		Dichte: 2·657·2	

Rosiwal erweist sich erfahrungsgemäß als nicht genügend genau, deshalb wurde der unten zu verfolgende Vorgang eingeschlagen; dabei braucht man nur die Volumprozent des Muskovits und der Akzessorien, ausschließlich Apatit. Bei diesen geringen Mengen sind Fehler von 3 bis 5<sup>0</sup>/<sub>10</sub> belanglos. Eine wichtige Kontrolle ergibt sich dabei durch die theoretische Dichte (vgl. Tabelle 2), die von der gefundenen nicht mehr als um 0·03 abweichen soll.

Aus Tabelle 2 sind ersichtlich die Gewichtsprozent *p* der Gemengteile, ihre Dichte *d*, das Volumen  $\frac{p}{d}$  sowie die errechneten Volumprozent.

Die theoretische Dichte muß etwas höher sein, da das Wasser der Einschlüsse im Quarz in der Analyse nicht zum Ausdruck kommt. Die Übereinstimmung ist somit eine recht gute.

Vom gleichen Gestein wurde 1928 von Ing. F. Ullsperger eine Analyse ausgeführt und in der Arbeit von R. Ostadal (4) veröffentlicht. Trotzdem sie unvollständig ist, macht sie zunächst einen guten Eindruck, die Fehler sind erst bei einer Verrechnung auf den Mineralgehalt nachzuweisen.

Ich führe die Analyse zu Vergleichszwecken hier

	Gew. %	Mol.-Quot.	Projektionswerte:	
SiO <sub>2</sub>	71·2	1186	<i>al</i> = 51·5	<i>k</i> = 0·58
Al <sub>2</sub> O <sub>3</sub> ..	16·7	164	<i>fn</i> = 11	<i>mg</i> = 0·19
Fe <sub>2</sub> O <sub>3</sub> <sup>3</sup> ..	2·3	29 <sup>3</sup>	<i>c</i> = 4·5	$\xi$ = 84·5
MgO	0·3	7	<i>alk</i> = 33	$\eta$ = 55·5
CaO	0·8	14	<i>si</i> = 370	$\zeta$ = 37·5
Na <sub>2</sub> O	2·8	45	<i>qz</i> = 140	
K <sub>2</sub> O	5·8	61		
Summe .....	99·9			

<sup>1</sup> Nach A. Marchet (16), p. 495!

<sup>2</sup> Mittel von allen verwendeten Handstücken, die untereinander nur wenig differieren.

<sup>3</sup> Gesamteisen; die Molekularquotienten auf FeO umgerechnet.

Tabelle 1. Berechnung der Analyse.

Bezeichnung	SiO <sub>2</sub>	TiO <sub>2</sub>	Al <sub>2</sub> O <sub>3</sub>	Fe <sub>2</sub> O <sub>3</sub>	FeO	MnO	MgO	CaO	BaO	Na <sub>2</sub> O	K <sub>2</sub> O	H <sub>2</sub> O <sup>+</sup>	P <sub>2</sub> O <sub>5</sub>
Molekularquotienten .....	12090	40	1379	17	308	14	94	160	2	478	564	411	11
Apatit, CaF <sub>2</sub> ·9 CaO·3 P <sub>2</sub> O <sub>5</sub> <sup>1</sup> .....	—	—	—	—	—	—	—	37	—	—	—	—	11
Magnetit, FeO·Fe <sub>2</sub> O <sub>3</sub> <sup>2</sup> ..	—	—	—	4	4	—	—	—	—	—	—	—	—
Rutil, TiO <sub>2</sub> <sup>2</sup> ..... ..	—	10	—	—	—	—	—	—	—	—	—	—	—
Titanit, CaO·TiO <sub>2</sub> ·SiO <sub>2</sub> <sup>2</sup> .....	4	4	—	—	—	—	—	4	—	—	—	—	—
Andalusit, Al <sub>2</sub> O <sub>3</sub> ·SiO <sub>2</sub> <sup>3</sup> .....	7	—	7	—	—	—	—	—	—	—	—	—	—
Plagioklas <sup>4</sup> .. ..	2282	—	461	—	—	—	—	119	2	340	—	—	—
Muskovit, 2 H <sub>2</sub> O·K <sub>2</sub> O·3 Al <sub>2</sub> O <sub>3</sub> ·6 SiO <sub>2</sub> <sup>5</sup>	282	—	141	—	—	—	—	—	—	—	47	94	—
K, Na-Feldspat <sup>6</sup> .....	3162	—	527	—	—	—	—	—	—	138	389	—	—
2 H <sub>2</sub> O·K <sub>2</sub> O·2 Fe <sub>2</sub> O <sub>3</sub> ·4 SiO <sub>2</sub> ..	26	—	—	13	—	—	—	—	—	—	6	13	—
2 H <sub>2</sub> O·K <sub>2</sub> O·2 Al <sub>2</sub> O <sub>3</sub> ·4 SiO <sub>2</sub> .....	462	26	244	—	—	—	—	—	—	—	122	244	—
2 (Mg·Fe) O·SiO <sub>2</sub> .. ..	206	—	—	—	304	14	94	—	—	—	—	—	—
Quarz ..	5659	—	—	—	—	—	—	—	—	—	—	—	—

<sup>1</sup> Ist durch den Wert von P<sub>2</sub>O<sub>5</sub> gegeben.

<sup>2</sup> Nach geschätzten Volumprozenten (0·05)!

<sup>3</sup> Volumprocente gemessen = 0·1!

<sup>4</sup> Das restierende CaO wird in den Plagioklas verrechnet. Die Durchschnittszusammensetzung von 15<sup>0</sup>/<sub>10</sub> An ergibt das dazu nötige Na<sub>2</sub>O, dessen Rest im Ab-reichen Kalifeldspat steckt. BaO vertritt CaO.

Volumprocente gemessen = 3·0!

<sup>6</sup> Das bisher noch nicht verbrauchte R<sub>2</sub>O und R<sub>2</sub>O<sub>3</sub> wird auf Feldspat und Biotit verteilt nach der Gleichung:

$$x+y = 655 \text{ (R}_2\text{O)}, x+2y = 783 \text{ (R}_2\text{O}_3), x = 527, y = 128.$$

Die RO-Basen bilden das Olivinmolekül des Biotits, die schließlich übrigbleibende Menge von SiO<sub>2</sub> gibt den Quarz.

Tabelle 2.

Bezeichnung	SiO <sub>2</sub>	TiO <sub>2</sub>	Al <sub>2</sub> O <sub>3</sub>	Fe <sub>2</sub> O <sub>3</sub>	FeO+ +MnO	MgO	CaO+ +BaO	Na <sub>2</sub> O	K <sub>2</sub> O	H <sub>2</sub> O+	P <sub>2</sub> O <sub>5</sub>	Summe	d	$\frac{p}{d}$	Vol.‰/o
Gewichtsprozent	72·60	0·32	14·06	0·28	2·31	0·38	0·92	2·96	5·31	0·74	0·15	100·03	—	—	—
Apatit	—	—	—	—	—	—	0·21	—	—	—	0·15	0·36	3·19	0·11	0·29
Magnetit .....	—	—	—	0·06	0·03	—	—	—	—	—	—	0·09	5·174	0·02	0·05
Rutil .....	—	0·08	—	—	—	—	—	—	—	—	—	0·08	4·2	0·02	0·05
Titanit .....	0·02	0·03	—	—	—	—	0·02	—	—	—	—	0·07	3·535	0·02	0·05
Andalusit .....	0·04	—	0·07	—	—	—	—	—	—	—	—	0·11	3·16	0·04	0·10
Plagioklas .....	13·71	—	4·71	—	—	—	0·68	2·11	—	—	—	21·21	2·644	8·02	21·5
Muskovit .....	1·69	—	1·44	—	—	—	—	—	0·44	0·17	—	3·74	2·83	1·32	3·5
Mikroklin	18·99	—	5·39	—	—	—	—	0·85	3·66	—	—	28·89	2·58	11·20	30·0
Biotit .....	4·17	0·21	2·49	0·22	2·28	0·38	—	—	1·21	0·46	—	11·42	3·00	3·81	10·2
Quarz ..	33·99	—	—	—	—	—	—	—	—	—	—	33·99	2·653	12·75	34·2
Summe...	72·61	0·32	14·10	0·28	2·31	0·38	0·91	2·96	5·31	0·63	0·15	99·96	—	37·31	99·9

Dichte berechnet 2·679. Dichte beobachtet 2·657.

Der Hauptfehler ist in der zu hohen Zahl für  $Al_2O_3$  gelegen. Dadurch ergibt sich bei den sonst ziemlich gleichen Werten von Alkalien und CaO ein nicht unterzubringender Tonerdeüberschuß, der auch durch etwa dreimal so hoch angenommenem Muskovitgehalt zu groß bleibt, wobei sich nebenbei für das Verhältnis  $K_2O Na_2O$  im Alkalifeldspat ein zu großes Vorherrschen des Albitmoleküls geltend machen würde. Auch im Biotit müßte man so viel Tonerde verrechnen, daß das Verhältnis des Alumosilikates zum Olivinmolekül unmöglich wird. Dadurch ist auch die Position im Tetraeder und im Kieselsäurefeld der geforderten Lage nicht entsprechend, besonders ist *si* für den hohen  $\xi$ -Wert viel zu niedrig. Eine durchgeführte Berechnung (wie oben) zeigt dies ziffermäßig.

Das gleiche wäre von der Analyse des Granits von Schrems zu sagen. Dieses Gestein entspricht dem Mauthausener Typus (vg dessen Analyse unten p. 856!).

Ergebnisse der Analyse von F. Ullsperger (in R. Ostadal, 4):

	Gew. 0/10	Mol.-Quot.	Projektionswerte:	
SiO <sub>2</sub> . . . . .	69·8	1157	<i>al</i> = 48·5	<i>h</i> = 0·42
Al <sub>2</sub> O <sub>3</sub> ..	17·5	171	<i>fm</i> = 11·5	<i>mg</i> = 0·29
Fe <sub>2</sub> O <sub>3</sub> <sup>1</sup> ..	2·3	29	<i>c</i> = 9·5	$\xi$ = 78·5
MgO . . . . .	0·5	12	<i>alk</i> = 30·0	$\eta$ = 58
CaO	1·9	34	<i>si</i> = 330	$\zeta$ = 39·5
Na <sub>2</sub> O	3·8	61	<i>qz</i> = 110	
K <sub>2</sub> O	4·3	46		
Summe..	100·1			

Ähnlich wie im vorigen Falle ist Tonerde zu hoch. Dadurch ergibt sich aus der Rechnung ein an Na<sub>2</sub>O viel zu reicher Orthoklas und ein großer Tonerdeüberschuß im Biotit. Daran würde auch eine Plagioklasmischung von 20<sup>0</sup>/<sub>10</sub> An nicht viel ändern. Im Tetraeder ist dadurch wieder  $\xi$  viel zu groß, ebenso  $\eta$ , was eine Lage ergibt, die für frische Granite nicht mehr möglich ist. Damit steht die niedrige *si*-Zahl in Widerspruch. Somit kommen die beiden Analysen, sei es infolge Unfrische des Gesteins oder nicht genügend genauer Durchführung zur chemischen Klassifikation nicht in Betracht.

Nach dem Mineralgehalt würde man unser Gestein einen an Alkalifeldspat und Quarz reichen Zweiglimmergranit nennen. Eine präzisere Charakterisierung gestattet uns der Chemismus, wozu P. Niggli (17) den Weg gebahnt hat. Schon aus der Mineralführung geht hervor, daß wir es hier nicht mit einem gewöhnlichen Granit zu tun haben; diese sind stets reicher an Plagioklas mit höherem An-Gehalt, reicher an *fm*-Mineralen und haben eine bedeutend niedrigere *si*- und *qz*-Zahl. Selbstverständlich wäre auch eine Bezeichnung als »aplitischer Granit« nicht richtig, da diese einen höheren Gehalt an Alkalien und SiO<sub>2</sub> aufweisen müssen und einen geringeren Biotitgehalt (kleineres *fm*) haben. Somit muß unser Gestein in der Mitte liegen; die Niggli'schen Zahlen stimmen in der Tat mit seinen engadinitischen Magmen vorzüglich überein. Trotz der gesuchten Analogie zu den niederösterreichischen Ganggesteinen (18), die meist der Kalireihe angehören, möchte man das Gestein nicht zu den rapakiwitischen Magmen stellen; diese erfordern trotz großer

<sup>1</sup> Gesamteisen; Mol. Quot. für FeO!



chemischer Ähnlichkeit doch etwas höheren Gehalt an *fm*-Mineralen, obwohl manche Zweiglimmergranite (Lausitz) hiehergehören. Auch die *si*-Zahl aller dieser »granitosyenitischen Magmen« ist im Durchschnitt etwas geringer.

Dasselbe gilt auch von dem Granit Typus Mauthausen (vgl. Analyse unter p. 856). Auch diesen Typus, mineralogisch ein charakteristischer Granitit, können wir nicht zu den »normalgranitischen« Magmen stellen, noch immer ist *si* zu hoch, *fm* und *c* zu niedrig,  $al - (c + alk)$  ist noch positiv, bei diesen bereits negativ. Somit muß oder soll bei letzteren bereits Hornblende oder Augit im Mineralgehalt erscheinen. Durch Abnahme von *si* und *alk* und Zunahme von *c* und *fm* gegenüber den engadinitischen Magmen ist, ebenso wie durch die Mineralführung (Mengenverhältnis und An-reicherer Plagioklas), die Einteilung hier nicht statthaft. Das Gestein gehört dem Chemismus nach zu den yosemititischen Magmen, wenn auch *c* bei diesen im Durchschnitt etwas höher ist. Aber ebenso gut kann die Einreihung bei den rapakiwitischen Magmen erfolgen, denen die Analyse im Tetraeder sogar näher liegt.

Eine Stufe weiter mit zunehmender Basizität führt der »porphyrtartige Granit«, den wir innerhalb der Alkali-Kalkreihe nur mehr zu den »normalgranitischen« Magmen stellen können; nur ist gewissermaßen ein Überschuß an Kalifeldspat gegenüber Plagioklas da, der die Projektionszahlen zugunsten von *alk* und *al* etwas erhöht, ebenso den Wert von *k*, *c* und *fm* etwas erniedrigt. Dadurch rückt unser Gestein durch größeres  $\xi$  im Tetraeder wesentlich tiefer. Natürlich besteht auch hier wieder die Möglichkeit, das Gestein der Kalireihe, nämlich den »granosyenitischen« oder »adamellitischen« Magmen zuzuteilen. Ein gewisses syenitisches Gepräge besteht ja ohne Zweifel, manche quarzärmere Varietäten wurden früher (1) auch als Syenit ausgeschieden. Auch in der starken Abnahme der *qz*-Zahl drückt sich diese Tendenz aus, wenn auch von Syenit im strengen Sinne nicht gesprochen werden darf. Nach meinem Dafürhalten entspricht das analysierte Gestein nicht dem Idealtypus, noch 20 *km* und darüber hinaus von der heutigen Granitgrenze entfernt ist das Gesamtbild unruhig und es besteht große Wahrscheinlichkeit, daß auch hier noch Teile des Daches assimiliert erscheinen. In der Tat ist noch weiter gegen das Innere des Massivs zu das Gesamtgepräge ruhiger und einheitlicher, und hier scheint der Kalifeldspat zu-, der Quarz hingegen abzunehmen.

Eine Tendenz, von der Normalreihe der Kalk-Alkaligesteine abzuweichen, ist somit bei allen Typen unleugbar da, wenn unsere Eruptiva auch noch nicht der eigentlichen Kalireihe angehören. Sie nehmen eine für das Waldviertel charakteristische Mittelstellung ein.

Klarer und einfacher geht das Gesagte aus den folgenden graphischen Darstellungen hervor.

Der Bequemlichkeit wegen werden hier die Analysen und Projektionszahlen obiger Granite und des monzonitischen Quarz-glimmerdiorits von Dornach (19) wiedergegeben.

	Nr. 1	Nr.	Nr. 3	Nr. 4 <sup>1</sup>
SiO <sub>2</sub> ..	72·60	69·50	65·95	57·60
TiO <sub>2</sub> ..	0·32	0·48	0·74	1·46
Al <sub>2</sub> O <sub>3</sub> ..	14·06	15·19	14·92	16·15
Fe <sub>2</sub> O <sub>3</sub> .	0·28	0·30	0·50	1·13
FeO ...	2·21	2·28	4·06	6·14
MnO ..	0·10	0·04	0·04	0·07
MgO ....	0·38	1·05	0·98	3·25
CaO ...	0·89	1·98	2·54	5·61
BaO .. ...	0·03	0·06	0·10	0·11
Na <sub>2</sub> O ....	2·96	3·25	3·23	2·80
K <sub>2</sub> O .....	5·31	4·98	5·73	4·05
H <sub>2</sub> O +110° ..	0·74	0·44	0·82	0·98
P <sub>2</sub> O <sub>5</sub> .....	0·15	0·17	0·69	0·82
S .....	0·00	0·05	0·06	0·06
Summe...	100·03	99·80 <sup>2</sup>	100·34 <sup>3</sup>	100·19 <sup>3</sup>

<sup>1</sup> Nr. 1 ist hier und in den Projektionsdarstellungen Typus Eisgarn, Nr. 2 Typus Mauthausen (20), Nr. 3 porphyrtiger Granit (20), Nr. 4 monzonitischer Quarzglimmerdiort Dornach (19).

<sup>2</sup> In der Summe enthalten 0·05 ZrO<sub>2</sub>, abgezogen 0·02 Sauerstoff für S!

<sup>3</sup> Abgezogen 0·02 Sauerstoff für S!

### Projektionszahlen.

Nr. 1	Nr. 2	Nr. 3	Nr. 4
<i>al</i> = 45·5	42·3	37·2	30·0
<i>fm</i> = 14·8	17·7	22·3	34·3
<i>c</i> = 5·3	10·1	11·7	19·0
<i>alk</i> = 34·4	29·9	28·8	16·7
<i>si</i> = 399	328	279	181
<i>qz</i> = 161	108	63	+ 14
<i>li</i> = 1·3	1·7	2·3	3·4
<i>p</i> = 0·4	0·3	1·3	1·1
<i>h</i> = 13·6	6·9	11·6	10·3
<i>k</i> = 0·54	0·50	0·54	0·49
<i>mg</i> = 0·21	0·42	0·28	0·44
<i>c/fm</i> = 0·36	0·57	0·53	0·56

(Fortsetzung der Tabelle.)

Nr. 1	Nr. 2	Nr. 3	Nr. 4
$\xi = 79.9$	72.2	66.0	46.7
$\eta = 50.8$	52.4	48.9	49.0
$\zeta = 39.7$	40.0	40.5	35.7
$or = 5.01$	4.28	4.71	3.51
$ab = 4.27$	4.28	4.02	3.65
$an = 0.72$	1.44	1.27	2.85
$ls = 0.54$	0.61	0.68	0.70
$fs = 0.04$	0.05	0.09	0.22
$qs = 0.42$	0.34	0.23	+ 0.08

Werte für die Dichte: Nr. 1 = 2.657, Nr. 2 = 2.67,<sup>1</sup> Nr. 3 = 2.70,<sup>1</sup> Nr. 4 = 2.799.<sup>2</sup><sup>1</sup> Nach E. F. Maroschek (20).<sup>2</sup> Siehe (19)!

Zum Vergleich in der Tetraederdarstellung seien noch die Projektionswerte von Mitteltypen nach F. Becke (21) und einiger Magmentypen nach P. Niggli (17) angegeben, und zwar:

Nr. 1. Alaskit.

Nr. 2. Granit.

Nr. 3. Granodiorit.

Nr. 4. Quarzdiorit.

Nr. 5. Syenit.

Nr. I. engadinitisch.

Nr. II. yosemititisch.

Nr. III. normalgranitisch.

Nr. IV. rapakiwitisch.

Nr. V. granosyenitisch.

Nr. VI. adamellitisch.

1	2	3	4		I	II	III	IV	V	VI
$al = 49$	42	35	31	32	44	43	35	40	40	37
$fm = 6$	20	26	35	29	12	14	26	18	17	23
$c = 3$	11	19	21	16	6	13	15	9	10	13
$alk = 42$	27	20	13	23	38	30	24	33	33	27
$si = 487$	333	248	188	204	420	350	270	380	260	330
$qz = 219$	125	68	36	12	168	130	74	148	28	122
$k = 0.48$	0.44	0.28	0.30	0.43	0.55	0.45	0.42	0.50	0.45	0.40
$mg = 0.09$	0.35	0.48	0.51	0.43	0.25	0.33	0.33	0.27	0.30	0.40
$c/fm = 0.50$	0.56	0.73	0.60	0.55	0.50	0.93	0.58	0.50	0.59	0.57

(Fortsetzung der Tabelle.)

1		3	4	5	I	II	III	IV	V	VI
$\xi = 91$	69	55	44	55	82	73	59	73	73	64
$\eta = 52$	53	54	52	48	50	56	50	49	50	50
$\zeta = 45$	38	39	34	39	44	43	39	42	43	40
$or = 4.7$	3.8	2.0	1.8	3.6	4.6	3.7	3.4	4.5	4.1	3.6
$ab = 5.0$	4.6	5.1	4.2	4.8	4.6	4.5	4.7	4.5	5.0	4.7
$an = 0.3$	1.6	2.9	4.0	1.6	0.7	1.8	1.9	1.0	1.0	1.6

Diskussion der Tetraederprojektion. Nr. 1 liegt zwischen den Becke'schen Mittelwerten von Alaskit und Granit, die Abweichung von letzterem ist so groß, daß man von einem Granit schlechtweg nicht sprechen soll. Die Mineralführung spiegelt sich in der Projektion wieder; Alkalifeldspat, saurer Plagioklas und Biotit nebst Muskovit werden hier zu erwarten sein, Auftreten von Hornblende ist unwahrscheinlich. Der Klassifikation kommt der engadinitische Typus als Mittelglied zwischen Alaskit und Granit sehr zugute. Somit bezeichnen wir das Gestein als »engadinitischen Zweiglimmergranit«. Die Beziehung zu den rapakiwitischen Magmen ist weniger diskutabel. Der Projektionspunkt von 1a hat eine Lage, die obige Bemerkung widerspiegelt. Bei Nr. 2 ist eine relativ gute Übereinstimmung mit dem Becke'schen Granitmittel zu sehen, zugleich aber auch die nahen Beziehungen zur yosemititischen Gruppe, deren enge Beziehung zu den rapakiwitischen Magmen in der Projektion deutlich zum Ausdruck kommt. Die Neigung fast aller Waldviertler Erstarrungsgesteine, sich im Grundriß links von der pazifischen Reihe zu gruppieren, würde mehr für die Zuteilung zu den rapakiwitischen Magmen sprechen. Das Gestein wäre also als yosemititisch-rapakiwitischer Granit zu bezeichnen. Bezüglich der Komponenten läßt sich das Auftreten von mehr Biotit und von Anreicherterem Plagioklas ablesen. Hornblende ist nicht zu erwarten. Für Nr. 3 ist noch größerer An-Gehalt und zunehmende Biotitführung aus der Lage abzuleiten. Hornblende ist bereits als Gementeil möglich. Die Abweichung vom Granitmittel und den normalgranitischen Magmen ist gleich groß. Bei den granosyenitischen Magmen kommt das »Syenitische« so stark zum Ausdruck, was bei unserem Gestein doch nicht der Fall ist. Es wäre besser, das Gestein mit den adamellitischen Gruppen zu vergleichen. Mit dem Adamellit Nr. 11 (17, p. 172) würde unsere Analyse gut übereinstimmen.

Der Einreihung in ein Schema stellen sich, wie man sieht, gewisse Schwierigkeiten entgegen. Fassen wir die gemeinsamen Charakterzüge von Nr. 1 bis Nr. 4 zusammen, so erkennen wir

durchlaufende charakteristische Züge: allgemeines, wenn auch geringes Abweichen von der typischen Alkali-Kalkreihe gegen intermediäre Zwischentypen, sowohl im Tetraeder als auch im Kieselsäurefeld.

Diese Sonderstellung kommt in anderen graphischen Darstellungen chemischer Eigenschaften noch schärfer zum Ausdruck (siehe

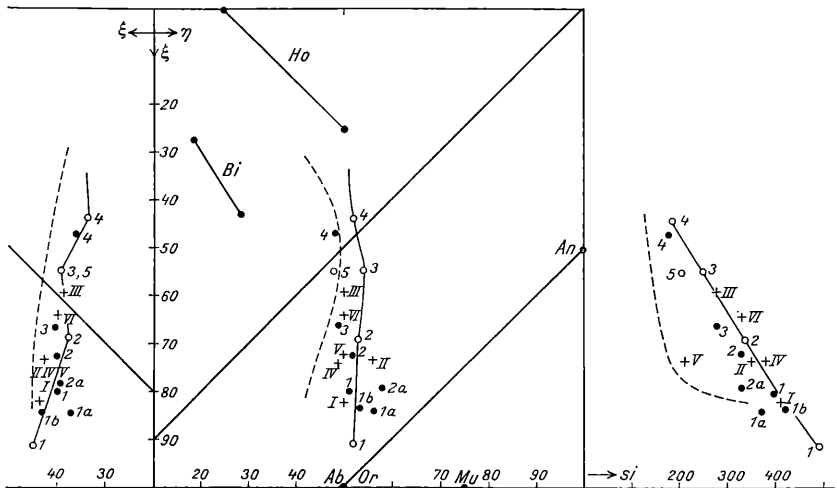


Fig. 1. Tetraederprojektion.

Es bedeuten: ● Nr. 1 usw. Tiefengesteine des Waldviertels. ● 1a und 2a sind die Analysen von F. Ullsperger (vgl. p. 851 und 854). ● 1b. Granit von Mrakotin (siehe unten p. 860)!

○ Nr. 1 usw. Mittelwerte nach F. Becke.

+ Nr. I usw. Niggli'sche Magmentypen.

Ausgezogene Kurve = pazifische Reihe, gestrichelte = atlantische Reihe nach F. Becke.

Fig. 2). Im Diagramm  $k-\xi$  ist die Abweichung von der pazifischen Reihe besonders bemerkenswert; das hohe  $k$  ist eben ein spezifisches Merkmal der Waldviertelgesteine. Im  $mg-\xi$ -Diagramm liegen die Punkte, mit Ausnahme des auffallend hohen  $mg$  bei Nr. 2, zwischen beiden Reihen. Eindeutig zeigt sich hier die Annäherung an Gesteine, die F. Becke durch den Syenit und Monzonit charakterisiert hat. Das gleiche kommt natürlich auch in der Darstellung des  $k-mg$ -Verhältnisses deutlich zum Ausdruck (Fig. 2 links).

Schließlich tritt die Eigenart unseres Tiefengesteins auch im Feldspatdreieck und in der  $si$ -Projektion zu Tage,<sup>1</sup> die hier aus Ersparungsrücksichten nicht gebracht wird.

Einen charakteristischen Eisgarner Granit hat J. Koutek in (22) beschrieben, welcher Arbeit eine Analyse von M. V. Veselý

<sup>1</sup> Vgl. bezüglich Berechnung Nr. 16!

beigegeben ist. Durch endogenen Kontakt ist die reichliche Führung von Andalusit nebst Cordierit und Sillimanit erklärt. Die Analyse weist daher auch größeres *al* auf. Das Vorkommen ist saurer wie unser Gestein, womit allerdings das zunehmende *c* und *fm* im Widerspruch steht. Zum Vergleiche ist die Analyse samt den Projektionswerten hier wiedergegeben.

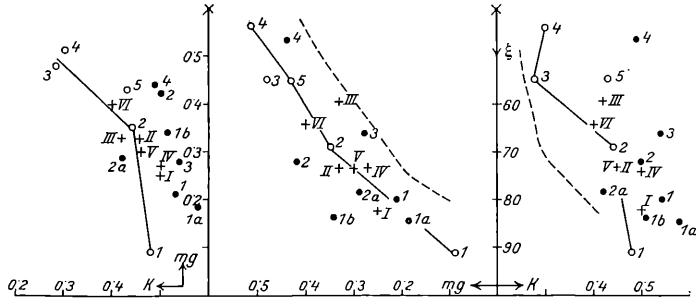


Fig. 2.

Gew. %	Mol.-Quot.	Projektionswerte:	
SiO <sub>2</sub> .. 73·62	12260	<i>al</i> = 47·1	$\xi$ = 83·7
TiO <sub>2</sub> .. 0·18	22	<i>fm</i> = 10·0	$\eta$ = 53·4
Al <sub>2</sub> O <sub>3</sub> ..... 14·06	1379	<i>c</i> = 6·3	$\zeta$ = 42·9
Fe <sub>2</sub> O <sub>3</sub> ..... 0·33	21	<i>alk</i> = 36·6	<i>or</i> = 4·70
FeO 1·08	150	<i>si</i> = 419	<i>ab</i> = 4·51
MnO 0·02	3	<i>qz</i> = 173	<i>an</i> = 0·79
MgO 0·40	99	<i>ti</i> = 0·8	<i>ls</i> = 0·55
CaO .... 1·03	184	<i>p</i> = 0·7	<i>fs</i> = 0·02
Na <sub>2</sub> O 3·24	523	<i>h</i> = 6·5	<i>qs</i> = 0·42
K <sub>2</sub> O .... 5·15	547	<i>k</i> = 0·51	
H <sub>2</sub> O <sup>+</sup> 0·34	189	<i>mg</i> = 0·34	
H <sub>2</sub> O <sup>-</sup> ..... 0·53	—	<i>clfm</i> = 0·63	
P <sub>2</sub> O <sub>5</sub> ... .. 0·30	21		
S. .... 0·02	6		
Summe .. 100·30			

Aus der näheren Nachbarschaft unseres Gebietes sind sonst keine Granite bisher beschrieben, die mit dem Eisgarner Typus identisch wären. Ein Vergleich mit weiteren Tiefengesteinen der Böhmisches Masse soll erst nach Abschluß einiger laufender Arbeiten in einer Zusammenfassung gezogen werden.

Wien, Min.-petr. Inst. d. Universität, im November 1931.

## Literaturverzeichnis.

1. Lipoft M. V., Die krystallinischen Schiefer- und Massengesteine in Nieder- und Oberösterreich nördlich von der Donau. Jahrb. d. Geol. R.-A., 3. Jg., 1852.
- Ostadal R., Zur Tektonik des Granits im nordwestlichen Teile des niederösterreichischen Waldviertels. Verh. d. Geol. B.-A., Jg. 1925, p. 139—147.
3. — Migmatitischer Cordieritgneis im nordwestlichen Waldviertel. (Vorläufige Mitteilung.) Ebenda, Jg. 1927, p. 231—238.
4. Petrographisches aus dem nordwestlichen Teil des niederösterreichischen Waldviertels. Ebenda, Jg. 1928, p. 185—204.  
— Zu »Petrographisches aus dem nordwestlichen Teil des niederösterreichischen Waldviertels«. Ebenda. Jg. 1929, p. 135.
6. — Fluorit aus dem nordwestlichen Waldviertel. Ebenda, Jg. 1930, p. 98—100.  
— Zur Intrusionsfolge im westlichen Waldviertel. Ebenda, Jg. 1931, p. 127 bis 137.
8. Waldmann L., Zum geologischen Bau des moldanubischen Grundgebirges auf dem Kartenblatt Gmünd. II. Teil. Anzeiger d. Akad. d. Wiss. in Wien, Nr. 6, p. 57—59, 1926.
9. Detto. III. Teil, ebenda, Nr. 23, p. 185—187, 1926.
10. — Umformung und Krystallisation in den moldanubischen Katagesteinen des nordwestlichen Waldviertels. Mitt. d. Geol. Ges. in Wien, 20. Bd, 1927, p. 35—101.
11. — Aufnahmebericht über Blatt Gmünd—Litschau (4454). Verh. d. Geol. B.-A., Jg. 1930, p. 38—41.
12. — Bericht über die Aufnahme des Blattes Gmünd—Litschau (4454) und Bereisung des Kartenblattes Drosendorf (4445). Ebenda, Jg. 1931, p. 31—34.
13. — Geologische Studien in der Glimmerschieferzone Südböhmens. Anzeiger d. Akad. d. Wiss. in Wien, Nr. 17, 1930.
14. Graber H. V., Fortschritte der geologischen und petrographischen Untersuchungen am hercynischen Donaubruch. Diese Sitz.-Ber., mat.-naturw. Kl., Abt. I., 137. Bd., p. 363—381, 1928.
15. — Bericht Nr. 5 über die geologisch-petrographischen Untersuchungen im oberösterreichisch-böhmischen Grenzgebirge. Anzeiger d. Akad. d. Wiss. in Wien, Nr. 6, 1931.
16. Marchet A., Zur Petrographie der vorsarmatischen Ergußgesteine bei Gleichenberg in Oststeiermark. Diese Sitz.-Ber., mat.-naturw. Kl., Abt. I, 140. Bd., p. 461—540, 1931.
17. Niggli P., Gesteins- und Mineralprovinzen. Bd. I: Einführung. Berlin, Borntraeger, 1923.
18. Köhler A., Zur Kenntnis der Ganggesteine im niederösterreichischen Waldviertel. Min.-petr. Mitt., Bd. 39, p. 125—203, 1928.
19. — Geologisch-petrographische Untersuchungen an Tiefengesteinen des niederösterreichischen Waldviertels und seiner Randgebiete. II. Bericht (zwei neue Analysen). Anzeiger d. Akad. d. Wiss. in Wien, Nr. 23, 1931.
20. Maroschek E. F., Beiträge zur Kenntnis des Granites von Mauthausen Oberösterreich. Ebenda, Nr. 12, 1931.
21. Becke F., Graphische Darstellung von Gesteinsanalysen. Min.-petr. Mitt., Bd. 37, p. 45, 1927.
- Koutek J., Sur le granite de Mrákotín. Résumé de texte tchèque. Bulletin International der Akad. d. Wiss. in Prag, mat.-naturw. u. med. Kl., 26. Jg., 1925. Prag, 1926, p. 25—37.

# ZOBODAT - [www.zobodat.at](http://www.zobodat.at)

Zoologisch-Botanische Datenbank/Zoological-Botanical Database

Digitale Literatur/Digital Literature

Zeitschrift/Journal: [Sitzungsberichte der Akademie der Wissenschaften  
mathematisch-naturwissenschaftliche Klasse](#)

Jahr/Year: 1931

Band/Volume: [140](#)

Autor(en)/Author(s): Köhler Alexander

Artikel/Article: [Der Granit "Typus Eisgarn" aus dem nordwestlichen  
Waldviertel. 847-861](#)